

### บทที่ 3

#### วิธีดำเนินการวิจัย

ในบทนี้ได้นำทฤษฎีและเทคนิคต่างๆ เช่น เทคนิคตัวแปรเวลาหลายตัว หลักการของการแปลงฟูเรียร์มาใช้ร่วมกับการวิเคราะห์สมการเชิงอนุพันธ์อันดับสองของระบบสั่นทางกลในสภาวะที่ถูกแรงภายนอกบังคับ นอกจากนี้ยังได้อธิบายถึงการทดลองที่ทำให้ได้ผลการทดลองที่นำไปยืนยันถึงความถูกต้องและแม่นยำของผลเฉลยที่ได้จากการวิเคราะห์ด้วยเทคนิคต่างๆ ดังกล่าว

การวิเคราะห์หาผลเฉลยของระบบมวลติดสปริงที่ถูกแรงภายนอกกระทำโดยนำหลักการตัวแปรเวลาหลายตัวและการแปลงฟูเรียร์เข้าช่วย

จากบทที่ 2 สมการเชิงอนุพันธ์ที่อธิบายการเคลื่อนที่ของมวลติดกับสปริงที่กำลังสั่นและถูกแรงกระทำจากภายนอกได้กล่าวไว้ในสมการ (27) ในที่นี้จะนำสมการดังกล่าวมาแสดงให้เห็นอีกครั้งเพื่อความสะดวก นั่นคือ

$$m \frac{d^2 x(t)}{dt^2} + \beta \frac{dx(t)}{dt} + kx(t) = f(t)$$

เมื่อใช้หลักการตัวแปรเวลาหลายตัวเข้าช่วยในการวิเคราะห์ จะได้สมการเชิงอนุพันธ์อันดับสองที่อธิบายการเคลื่อนที่ของมวลที่ติดกับสปริงเป็นดังนี้

$$m \frac{d^2 x(t, \tau)}{dt^2} + \beta \frac{dx(t, \tau)}{dt} + kx(t, \tau) = f(\tau) \quad (77)$$

จัดเรียงสมการ (77) ใหม่ จะได้

$$\frac{d^2 x(t, \tau)}{dt^2} + \frac{\beta}{m} \frac{dx(t, \tau)}{dt} + \frac{k}{m} x(t, \tau) = \frac{1}{m} f(\tau) \quad (78)$$

กำหนดให้  $\frac{\beta}{m} = 2\lambda$  และ  $\frac{k}{m} = \omega_0^2$  ทำให้สมการ (78) เขียนใหม่ได้เป็น

$$\frac{d^2 x(t, \tau)}{dt^2} + 2\lambda \frac{dx(t, \tau)}{dt} + \omega_0^2 x(t, \tau) = \frac{1}{m} f(\tau) \quad (79)$$

เมื่อต้องการหาผลตอบสนองของธรรมชาติ สมการ (79) จะเขียนได้เป็น

$$\frac{d^2 x_n(t)}{dt^2} + 2\lambda \frac{dx_n(t)}{dt} + \omega_0^2 x_n(t) = 0 \quad (80)$$

จากสมการ (80) สมการลักษณะเฉพาะ (characteristic equation) จะเป็น

$$r^2 + 2\lambda r + \omega_0^2 = 0$$

ซึ่งรากของสมการลักษณะเฉพาะคือ

$$r_1 = -\lambda + \sqrt{\lambda^2 - \omega_0^2}, \quad r_2 = -\lambda - \sqrt{\lambda^2 - \omega_0^2}$$

ในที่นี้ กำหนดให้ผลตอบสนองมีลักษณะสั้นภายใต้แรงหน่วง (กรณีที่ 3  $\lambda^2 - \omega_0^2 < 0$  ดังที่กล่าวไว้ในบทที่ 2) ดังนั้น

$$r_1 = -\lambda + j\sqrt{\omega_0^2 - \lambda^2}, \quad r_2 = -\lambda - j\sqrt{\omega_0^2 - \lambda^2}$$

ซึ่งจะได้ผลตอบสนองของธรรมชาติที่มีรูปสมการเหมือนกับสมการ (18) ในบทที่ 2 คือ

$$x_n(t) = e^{-\lambda t} \left( a \cos \sqrt{\omega_0^2 - \lambda^2} t + b \sin \sqrt{\omega_0^2 - \lambda^2} t \right)$$

และสามารถเขียนได้อีกรูปแบบคือ

$$x_n(t) = e^{-\lambda t} A \cos \left( \sqrt{\omega_0^2 - \lambda^2} t - \phi \right)$$

โดยที่  $A = \sqrt{a^2 + b^2}$  และ  $\phi = \tan^{-1}\left(\frac{b}{a}\right)$

สำหรับการหาค่าผลตอบสนองบังคับ  $x_f(\tau)$  สามารถเขียนสมการ (79) เป็น

$$\frac{d^2 x_f(\tau)}{d\tau^2} + 2\lambda \frac{dx_f(\tau)}{d\tau} + \omega_0^2 x_f(\tau) = \frac{1}{m} f(\tau) \quad (81)$$

โดยการประยุกต์ใช้หลักการการแปลงฟูเรียร์ที่กล่าวไว้ในบทที่ 2 ถ้าอินพุต  $f(\tau) = F_0 \cos(\omega_f \tau)$  จะได้ผลตอบสนองบังคับ

$$x_f(\tau) = F_0 |H(j\omega_f)| \cos(\omega_f \tau + \angle H(j\omega_f)) \quad (82)$$

โดยที่ผลตอบสนองความถี่  $H(j\omega_f)$  ของสมการ (81) สามารถหาได้โดยการแปลงฟูเรียร์ของสมการ (81) ดังนี้

$$(j\omega_f)^2 X(j\omega_f) + 2\lambda(j\omega_f)X(j\omega_f) + \omega_0^2 X(j\omega_f) = \frac{1}{m} F(j\omega_f)$$

จัดรูปสมการใหม่

$$(-\omega_f^2 + 2\lambda\omega_f j + \omega_0^2) X(j\omega_f) = \frac{1}{m} F(j\omega_f)$$

จะได้ผลตอบสนองความถี่ ณ สภาวะคงตัวดังนี้

$$H(j\omega_f) = \frac{X(j\omega_f)}{F(j\omega_f)} = \frac{1}{m[(\omega_0^2 - \omega_f^2) + 2\lambda\omega_f j]}$$

ซึ่งเขียนในรูปเชิงขั้วได้เป็น

$$\begin{aligned}
 H(j\omega_f) &= |H(j\omega_f)| e^{j[\angle H(j\omega_f)]} \\
 &= \frac{1}{m \left[ \sqrt{(\omega_0^2 - \omega_f^2)^2 + (2\lambda\omega_f)^2} e^{j \left[ \tan^{-1} \left( \frac{2\lambda\omega_f}{\omega_0^2 - \omega_f^2} \right) \right]} \right]} \\
 &= \frac{1}{m \left[ \sqrt{(\omega_0^2 - \omega_f^2)^2 + (2\lambda\omega_f)^2} \right]} e^{j \left[ -\tan^{-1} \left( \frac{2\lambda\omega_f}{\omega_0^2 - \omega_f^2} \right) \right]}
 \end{aligned}$$

โดยที่

$$|H(j\omega_f)| = \frac{1}{m \left[ \sqrt{(\omega_0^2 - \omega_f^2)^2 + (2\lambda\omega_f)^2} \right]} \quad \text{และ} \quad \angle H(j\omega_f) = -\tan^{-1} \left( \frac{2\lambda\omega_f}{\omega_0^2 - \omega_f^2} \right) \quad (83)$$

เมื่อทราบค่าของผลตอบสนองธรรมชาติและผลตอบสนองบังคับแล้ว สามารถหาผลตอบสนองสมบูรณ์ในมุมมองของตัวแปรเวลาหลายตัว คือ

$$\begin{aligned}
 x(t, \tau) &= x_n(t) + x_f(\tau) \\
 &= e^{-\lambda t} \left( a \cos \sqrt{\omega_0^2 - \lambda^2} t + b \sin \sqrt{\omega_0^2 - \lambda^2} t \right) + x_f(\tau)
 \end{aligned} \quad (84)$$

ซึ่งในที่นี้ ผลตอบสนองบังคับยังคงเขียนเป็น  $x_f(\tau)$  เพื่อความสะดวกในการวิเคราะห์สมการในลำดับถัดไป

กำหนดให้  $\omega_n = \sqrt{\omega_0^2 - \lambda^2}$  ดังนั้นสมการ (84) สามารถเขียนได้ใหม่เป็น

$$x(t, \tau) = e^{-\lambda t} (a \cos \omega_n t + b \sin \omega_n t) + x_f(\tau) \quad (85)$$

จากสมการ (85) สามารถหาค่าของ  $a$  และ  $b$  ที่อยู่ในรูปเงื่อนไขเริ่มต้น  $x_0$   $v_0$  และผลตอบสนองบังคับ  $x_f(\tau)$  ได้โดย

แทน  $t = 0$  ในสมการ (85) จะได้

$$x(0, \tau) = x_0 = a + x_f(\tau)$$

หรือ

$$a = x_0 - x_f(\tau) \quad (86)$$

หาอนุพันธ์อันดับหนึ่งของสมการ (85) จะได้

$$\frac{d}{dt} x(t, \tau) = e^{-\lambda t} (-a\omega_n \sin \omega_n t + b\omega_n \cos \omega_n t) - \lambda e^{-\lambda t} (a \cos \omega_n t + b \sin \omega_n t) \quad (87)$$

แทน  $t = 0$  ในสมการ (87) จะได้

$$\left. \frac{d}{dt} x(t, \tau) \right|_{t=0} = v(0, \tau) = v_0 = b\omega_n - \lambda a$$

ซึ่งได้

$$b = \frac{v_0 + \lambda a}{\omega_n} \quad (88)$$

นำสมการ (86) แทนในสมการ (88) จะได้

$$b = \frac{v_0 + \lambda(x_0 - x_f(\tau))}{\omega_n}$$

ดังนั้นสมการ (85) เขียนใหม่ได้เป็น

$$x(t, \tau) = e^{-\lambda t} \left( (x_0 - x_f(\tau)) \cos \omega_n t + \frac{v_0 + \lambda(x_0 - x_f(\tau))}{\omega_n} \sin \omega_n t \right) + x_f(\tau)$$

และสามารถเขียนให้อยู่ในรูป

$$x(t, \tau) = e^{-\lambda t} A \cos(\omega_n t - \phi) + x_f(\tau) \quad (89)$$

โดยที่

$$A = \sqrt{(x_0 - x_f(\tau))^2 + \left( \frac{v_0 + \lambda(x_0 - x_f(\tau))}{\omega_n} \right)^2}$$

และ

$$\phi = \tan^{-1} \left( \frac{v_0 + \lambda(x_0 - x_f(\tau))}{\omega_n(x_0 - x_f(\tau))} \right)$$

ถ้าต้องการให้  $\phi = 0$  จะต้องกำหนดเงื่อนไขเริ่มต้นให้  $v(0, \tau) = v_0 = -\lambda(x_0 - x_f(\tau))$  และ  $x(0, \tau) = x_0$  ซึ่งทำให้  $A = x_0 - x_f(\tau)$  และสมการ (89) จะกลายเป็น

$$x(t, \tau) = e^{-\lambda t} (x_0 - x_f(\tau)) \cos \omega_n t + x_f(\tau) \quad (90)$$

เพื่อความสะดวก สมการ (49) ในบทที่สองซึ่งเป็นผลเฉลยเนื่องจากใช้วิธีการแบบดั้งเดิม จะนำมาเขียนในที่นี้อีกครั้ง ดังนี้

$$x(t) = e^{-\lambda t} (x_0 - x_f(0)) \cos \omega_n t + x_f(t)$$

เมื่อเปรียบเทียบกันระหว่างสมการ (90) และสมการ (49) จะเห็นได้ว่า สมการ (90) จะมีขนาดของผลตอบสนองธรรมชาติขึ้นอยู่กับผลตอบสนองบังคับตลอดเวลา (ที่  $t \geq 0$ ) ในทางตรงกันข้ามสมการ (49) จะมีขนาดของผลตอบสนองธรรมชาติขึ้นอยู่กับผลตอบสนองบังคับที่เวลาเริ่มต้น

$t = 0$  เท่านั้น ซึ่งเป็นความแตกต่างที่ชัดเจนระหว่างเทคนิคตัวแปรเวลาหลายตัวและวิธีการแบบดั้งเดิม ดังนั้น สมการ (90) สามารถเขียนต่อไปอีกได้เป็น

$$x(t, \tau) = x_0 e^{-\lambda t} \cos(\omega_n t) - x_f(\tau) e^{-\lambda t} \cos(\omega_n t) + x_f(\tau) \quad (91)$$

จากนั้นนำผลตอบสนองบังคับจากสมการ (82) แทนลงในสมการ (91) จะได้

$$\begin{aligned} x(t, \tau) &= x_0 e^{-\lambda t} \cos(\omega_n t) - \left[ F_0 |H(j\omega_f)| \cos(\omega_f \tau + \angle H(j\omega_f)) \right] e^{-\lambda t} \cos(\omega_n t) \\ &\quad + F_0 |H(j\omega_f)| \cos(\omega_f \tau + \angle H(j\omega_f)) \\ &= x_0 e^{-\lambda t} \cos(\omega_n t) - F_0 |H(j\omega_f)| e^{-\lambda t} \cos(\omega_f \tau + \angle H(j\omega_f)) \cos(\omega_n t) \\ &\quad + F_0 |H(j\omega_f)| \cos(\omega_f \tau + \angle H(j\omega_f)) \end{aligned} \quad (92)$$

โดยที่ค่าของ  $|H(j\omega_f)|$  และ  $\angle H(j\omega_f)$  ได้กล่าวไว้แล้วในสมการ (83)

จากการสมมติ  $\tau = t - \Delta t$  ซึ่งเป็นสมการ (72) ในบทที่ 2 ดังนั้น สมการ (92) จะเขียนใหม่ได้เป็น

$$\begin{aligned} x(t, t + \Delta t) &= x_0 e^{-\lambda t} \cos(\omega_n t) - F_0 |H(j\omega_f)| e^{-\lambda t} \cos(\omega_f (t - \Delta t) + \angle H(j\omega_f)) \cos(\omega_n t) \\ &\quad + B |H(j\omega_f)| \cos(\omega_f (t - \Delta t) + \angle H(j\omega_f)) \\ &= x_0 e^{-\lambda t} \cos(\omega_n t) - F_0 |H(j\omega_f)| e^{-\lambda t} \cos(\omega_f t - \omega_f \Delta t + \angle H(j\omega_f)) \cos(\omega_n t) \\ &\quad + B |H(j\omega_f)| \cos(\omega_f t - \omega_f \Delta t + \angle H(j\omega_f)) \end{aligned} \quad (93)$$

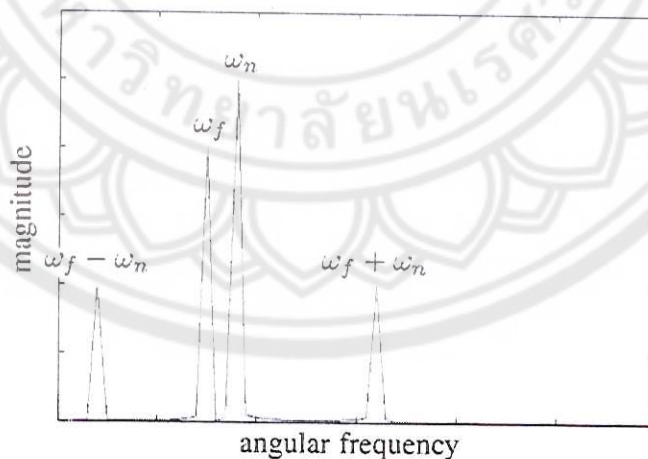
เพื่อความกระชับของสมการ จะกำหนดให้  $D = F_0 |H(j\omega_f)|$  คือขนาดของผลตอบสนองบังคับ และ  $\phi_d = -\omega_f \Delta t + \angle H(j\omega_f)$  คือความต่างเฟสระหว่างผลตอบสนองบังคับและแรงภายนอก สมการ (93) จะเขียนใหม่ได้เป็น

$$x(t, t + \Delta t) = x_0 e^{-\lambda t} \cos(\omega_n t) - D e^{-\lambda t} \cos(\omega_f t + \phi_d) \cos(\omega_n t) + D \cos(\omega_f t + \phi_d) \quad (94)$$

ในเทอมที่สองของสมการ (94) สามารถแยกได้ออกเป็นสองเทอมโดยใช้คุณสมบัติของตรีโกณมิติ  $\cos x \cos y = \frac{1}{2} [\cos(x+y) + \cos(x-y)]$  ทำให้สมการ (94) เขียนได้ใหม่เป็น

$$\begin{aligned} x(t, t + \Delta t) &= x_0 e^{-\lambda t} \cos(\omega_n t) - \frac{D}{2} e^{-\lambda t} \cos[\omega_f t + \omega_n t + \phi_d] - \frac{D}{2} e^{-\lambda t} \cos[\omega_f t - \omega_n t + \phi_d] \\ &\quad + D \cos[\omega_f t + \phi_d] \\ &= x_0 e^{-\lambda t} \cos(\omega_n t) - \frac{D}{2} e^{-\lambda t} \cos[(\omega_f + \omega_n)t + \phi_d] - \frac{D}{2} e^{-\lambda t} \cos[(\omega_f - \omega_n)t + \phi_d] \\ &\quad + D \cos[\omega_f t + \phi_d] \end{aligned} \quad (95)$$

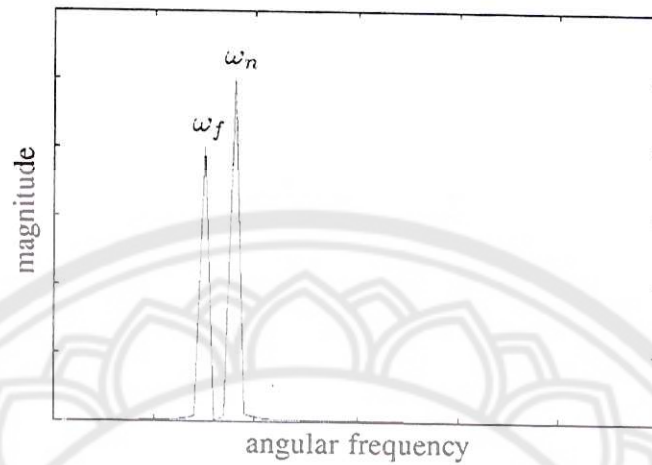
จากสมการ (95) ความถี่เชิงมุมของเทอมที่หนึ่ง สอง สาม และสี่มีค่าเท่ากับ  $\omega_n$ ,  $\omega_f + \omega_n$ ,  $\omega_f - \omega_n$  และ  $\omega_f$  ตามลำดับ ซึ่งสามารถแสดงให้เห็นภาพได้โดยง่ายด้วยสเปกตรัมที่จำลองขึ้นมาดังแสดงในภาพ 15



ภาพ 15 สเปกตรัมจำลองของผลเฉลยที่ได้จากการใช้เทคนิคตัวแปรเวลาหลายตัว

ซึ่งตรงกันข้ามกับการใช้วิธีการแบบดั้งเดิมที่มีองค์ประกอบความถี่ในผลเฉลย (สมการ (51) ในบทที่ 2) เพียง 2 ความถี่คือ  $\omega_n$  และ  $\omega_f$  ดังแสดงในภาพ 16





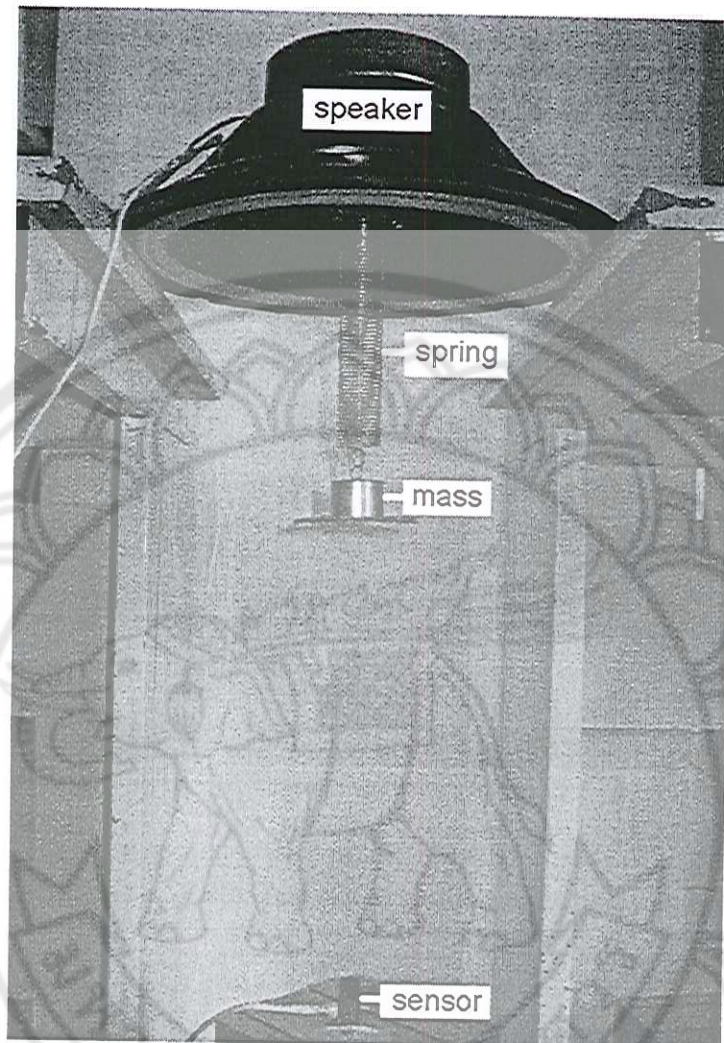
ภาพ 16 สเปกตรัมจำลองของผลเฉลยที่ได้จากการใช้วิธีการแบบดั้งเดิม

พิจารณาสมการ (95) ณ เวลา  $t=0$  ซึ่งเป็นเวลาที่แรงภายนอกเริ่มกระทำต่อระบบ ขณะที่มวลกำลังสั่น ขนาดของเทอมที่สองและที่สามซึ่งเป็นเทอมใหม่ทั้งสองเทอม มีค่าเป็นครึ่งหนึ่งของขนาดของผลตอบสนองบังคับ (เทอมที่สี่) ขณะที่เวลา  $t$  เพิ่มขึ้น ตัวประกอบเอกซ์โพเนนเชียล  $e^{-\lambda t}$  จะมีค่าลดลงอย่างต่อเนื่องและมีค่าเข้าใกล้ศูนย์ ด้วยเหตุนี้ ขนาดของเทอมที่สองและเทอมที่สาม รวมไปถึงเทอมที่หนึ่งจะลดลงอย่างต่อเนื่อง นอกจากนี้ขนาดของผลตอบสนองบังคับจะมีขนาดใหญ่เมื่อความถี่การสั่นของแรงบังคับ  $\omega_f$  เข้าใกล้ความถี่ธรรมชาติที่สั้นอย่างอิสระโดยไม่มีการหน่วง  $\omega_0$  (โดยการสังเกตจากค่าของ  $|H(j\omega_f)|$  ในสมการ 83) ด้วยเหตุผลนี้ ที่เวลา  $t=0$  ขนาดของเทอมที่สองและเทอมที่สามจะเพิ่มขึ้นตามด้วยซึ่งเป็นครึ่งหนึ่งของผลตอบสนองบังคับ

ดังนั้น จะเห็นได้ว่า สมการ (95) น่าจะถูกต้องและแม่นยำกว่าสมการ (51) ในบทที่ 2

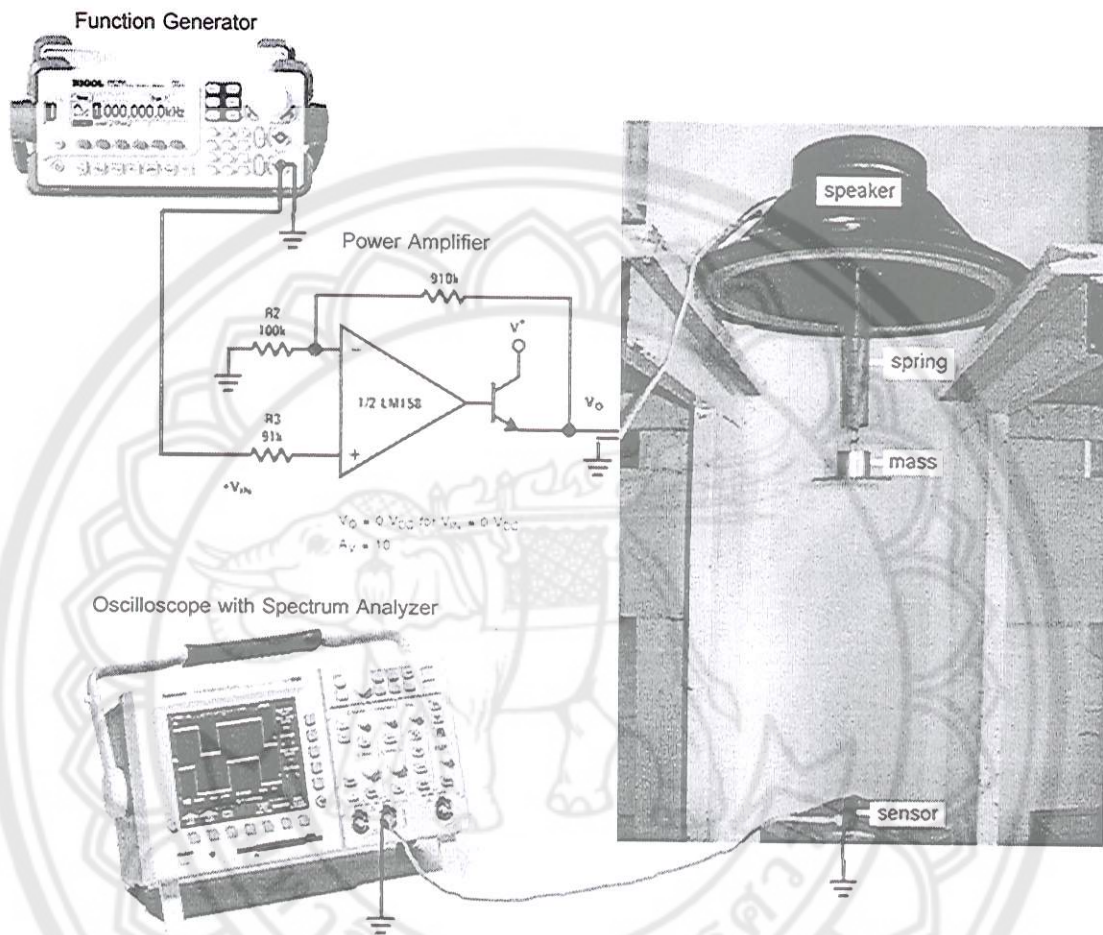
การทดลองของระบบมวลติดสปริงที่ถูกแรงภายนอกกระทำ

เพื่อยืนยันว่าหลักการที่นำเสนอ นั้นถูกต้อง การทดลองในสถานการณ์การสั่นของมวลติดกับสปริงภายใต้แรงกระทำภายนอกได้จัดขึ้นดังแสดงในภาพ 17



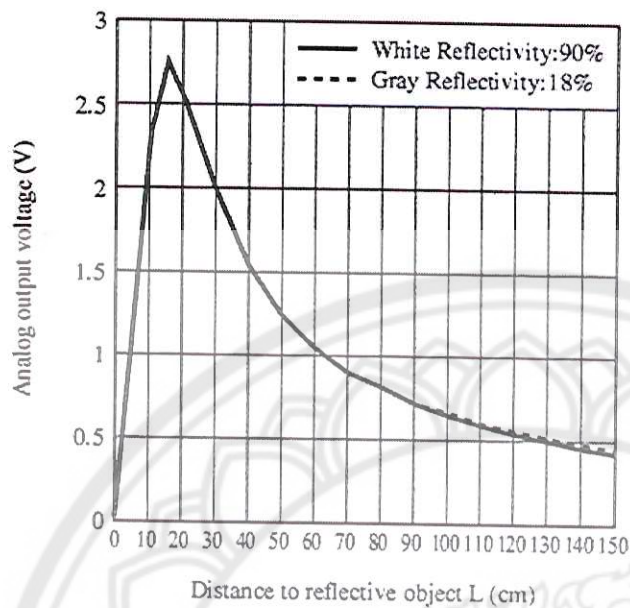
ภาพ 17 การทดลองสปริงที่กำลังสั่นอยู่ภายใต้แรงกระทำจากภายนอก

ในการทดลองนี้ ระบบสั่นประกอบด้วยมวล 0.1 กิโลกรัมผูกติดที่ปลายสปริงอันหนึ่งที่มีค่าคงที่สปริง ( $k$ ) เท่ากับ 14 นิวตันต่อเมตร ความถี่ธรรมชาติ  $\omega_n$  ของระบบมีค่า 1.70 Hz ปลายอีกด้านหนึ่งของสปริงจะยึดติดกับตำแหน่งตรงกลางด้านหน้าของดอกลำโพงขนาดใหญ่ที่คว่ำหน้าลงในแนวตั้ง ดังภาพ 17 ทำหน้าที่เป็นตัวป้อนแรงให้กับระบบมวล-สปริง โดยที่เครื่องกำเนิดสัญญาณจะป้อนสัญญาณรูปไซน์ให้กับวงจรขยายกำลัง (power amplifier) และเอาต์พุตของวงจรขยายกำลังจะเชื่อมต่อไปยังดอกลำโพงดังกล่าว ดังภาพ 18 ซึ่งทำให้ดอกลำโพงสั่นแบบไซน์ตามความถี่ของสัญญาณที่มาจากเครื่องกำเนิดสัญญาณ และสามารถปรับความถี่และแอมพลิจูดของแรงภายนอกที่กระทำกับระบบมวล-สปริงได้โดยง่าย



ภาพ 18 ภาพรวมการเชื่อมต่ออุปกรณ์ต่างๆ ที่ใช้ในการทดลอง

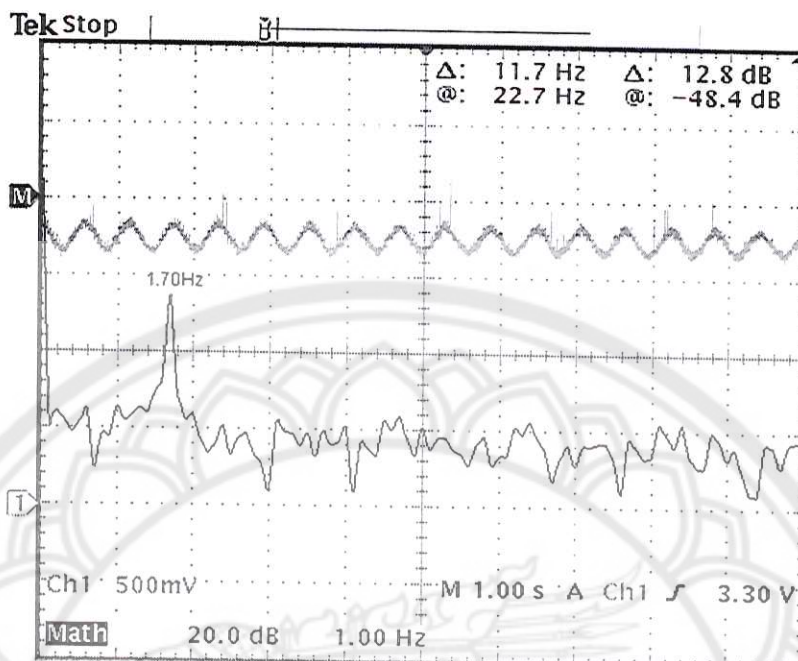
ในการวัดการเคลื่อนที่แบบสั่นของมวลติดกับสปริงจะใช้เซนเซอร์วัดระยะทาง GP2Y0A02YK ของบริษัท SHARP ซึ่งเป็นเซนเซอร์ที่ให้เอาต์พุตเป็นแรงดันสัมพันธ์กับระยะทาง ดังแผนภาพในภาพ 19 เซนเซอร์ถูกวางไว้ใต้มวลที่ติดกับสปริงโดยห่างจากมวลในแนวตั้งขณะที่สปริงยังไม่สั่น 30 เซนติเมตร ซึ่งเป็นกึ่งกลางของช่วงที่ค่อนข้างเป็นเชิงเส้นและมีอัตราขยาย (gain) มาก (ในช่วง 20-40 เซนติเมตรจากเซนเซอร์)



ภาพ 19 ความสัมพันธ์ระหว่างระยะทางกับเอาต์พุตของเซนเซอร์ที่เป็นแรงดัน

เมื่อมวลติดสปริงสั้น แรงดันที่ได้จากเซนเซอร์จะเปลี่ยนแปลงตามการเคลื่อนที่ของมวลที่ติดกับสปริงนี้ ซึ่งจะนำไปแสดงผลและวิเคราะห์สเปกตรัมของมันด้วยออสซิลโลสโคปต่อไป

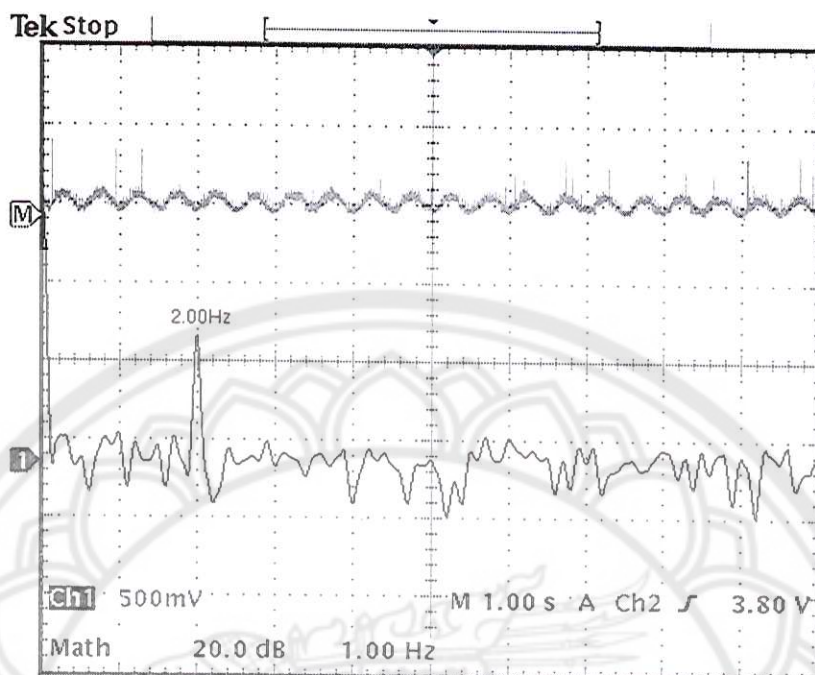
ก่อนอื่น เพื่อให้แน่ใจว่า เอาท์พุตจากเซนเซอร์วัดระยะทางสัมพันธ์กับการเคลื่อนที่ของมวลอย่างเชิงเส้น ถ้ามวลสั้นโดยยังไม่มีแรงภายนอกมากกระทำ สเปกตรัมของสัญญาณเอาต์พุตของเซนเซอร์ควรมีองค์ประกอบของความถี่เพียงความถี่เดียวซึ่งเป็นความถี่ธรรมชาติ  $\omega_n$  ของมวลที่ติดกับสปริง ผู้วิจัยจึงได้ทดลองยกมวลขึ้นแล้วปล่อย โดยไม่ให้การกระจัดของมวลเกินช่วงที่เป็นเชิงเส้น (ในช่วง 20-40 เซนติเมตรจากเซนเซอร์) ในขณะที่ลำโพงยังไม่สั่นหรือไม่ป้อนแรงภายนอกให้กับระบบมวลติดสปริง ซึ่งได้ผลการทดลองดังภาพ 20



ภาพ 20 สัญญาณเส้นบนเป็นเอาต์พุตของเซนเซอร์ และสัญญาณเส้นล่างเป็นสเปกตรัมของสัญญาณเส้นบนในการทดลองที่ให้สปริงสั้นโดยไม่ป้อนแรงภายนอก (ลำโพงไม่สั้น)

จากภาพ 20 จะเห็นได้ว่าสเปกตรัมของสัญญาณเอาต์พุตจากเซนเซอร์วัดระยะทางในช่วงที่พิจารณามีเพียงความถี่เดียวเท่านั้น คือ 1.70 Hz จึงมั่นใจได้ว่า เอาต์พุตที่วัดได้จากการสั้นของมวลติดสปริงมีความเป็นเชิงเส้น

และเช่นเดียวกัน เพื่อให้แน่ใจว่าลำโพงที่ป้อนแรงให้กับระบบสปริง มีการสั่นแบบไซน์จริงๆ ตามความถี่ของฟังก์ชันเจนเนอเรเตอร์ที่ป้อนให้กับวงจรรขยายกำลังเพื่อขับลำโพง ผู้วิจัยจึงได้นำเทปกาวยึดสปริงขณะที่มวลอยู่ในตำแหน่งสมดุล เพื่อไม่ให้สปริงสั้นขณะลำโพงกำลังสั่น ในการทดลองสัญญาณจากฟังก์ชันเจนเนอเรเตอร์ที่ผ่านไปยังวงจรรขยายกำลังไปขับลำโพง มีความถี่เท่ากับ 2.00Hz แต่เนื่องจากระยะเวลาการสั้นของลำโพงมีค่าน้อยมาก ไม่สามารถวัดได้ในช่วงการวัด 20-40 เซนติเมตรจากเซนเซอร์วัดระยะทาง ผู้วิจัยจึงได้เปลี่ยนมาใช้ช่วงการวัด 0-10 เซนติเมตรจากเซนเซอร์แทน ซึ่งมีอัตราการขยายที่มากกว่าและเป็นเชิงเส้นดังภาพ 19 โดยให้มวลห่างจากรูานของเซนเซอร์ 5 เซนติเมตร (ขณะลำโพงยังไม่สั้น) ซึ่งผลการทดลองได้แสดงไว้ดังภาพ 21



ภาพ 21 สัญญาณเส้นบนเป็นเอาต์พุตของเซนเซอร์ และสัญญาณเส้นล่างเป็นสเปกตรัมของสัญญาณเส้นบนในการทดลองที่ให้ลำโพงสั่นแต่ไม่ให้สปริงสั่น (สปริงโดนพันด้วยเทปกาว)

จากภาพ 21 จะเห็นได้ว่า ในช่วงสเปกตรัมที่พิจารณา สัญญาณเอาต์พุตของเซนเซอร์มีเพียงความถี่เดียวเช่นกันคือ 2.00Hz ซึ่งเป็นการยืนยันว่า ลำโพงนั้นได้สั่นแบบไซน์จริงๆ ซึ่งเป็นแรงที่ป้อนให้กับระบบที่อธิบายด้วยสมการ  $f(\tau) = F_0 \cos(\omega_f \tau)$

ในการทดลองลำดับต่อไปหลังจากเซนเซอร์ติดตั้งไว้ที่ตำแหน่งเดิม ผู้วิจัยจะป้อนแรงภายนอกโดยการทำให้ลำโพงสั่นแบบไซน์ที่มีความถี่ใกล้ 1.70 Hz ซึ่งเป็นความถี่ธรรมชาติ เช่น 1.40, 1.50, 1.90 และ 2.00 Hz ตามลำดับ สำหรับขั้นตอนการทดลองนั้นจะให้ลำโพงสั่นก่อน ด้วยความถี่ที่ต้องการ จากนั้นทำให้สปริงสั่นโดยยกมวลขึ้นเล็กน้อยแล้วปล่อย ( $t = 0$ ) ซึ่งทำให้มวลนั้นสั่นขณะมีแรงภายนอกมากระทำ ดังนั้น สเปกตรัมของสัญญาณเอาต์พุตของเซนเซอร์ควรจะสอดคล้องกับสมการ (95) ซึ่งผลการทดลองจะได้กล่าวไว้ในบทถัดไป

การวิเคราะห์หาผลเฉลยของระบบเพนดูลัมที่ถูกแรงภายนอกกระทำโดยใช้เทคนิคตัวแปรเวลาหลายตัวและใช้การแปลงฟูเรียร์เข้าช่วยเพื่อหาผลตอบสนองบังคับ

จากบทที่ 2 สมการเชิงอนุพันธ์ที่อธิบายการเคลื่อนที่ของเพนดูลัมอย่างง่ายที่กำลังสั่นและถูกแรงกระทำจากภายนอกได้กล่าวไว้ในสมการ (58) ในที่นี้จะนำสมการดังกล่าวมาแสดงให้เห็นอีกครั้งเพื่อความสะดวก นั่นคือ

$$m \frac{d^2 x(t)}{dt^2} + \alpha \frac{dx(t)}{dt} + \frac{mg}{l} x(t) = f(t)$$

เมื่อใช้หลักการตัวแปรเวลาหลายตัวเข้าช่วยในการวิเคราะห์ จะได้สมการเชิงอนุพันธ์ย่อยที่อธิบายการเคลื่อนที่ของลูกตุ้มเพนดูลัมเป็นดังนี้

$$m \frac{d^2 x(t, \tau)}{dt^2} + \alpha \frac{dx(t, \tau)}{dt} + \frac{mg}{l} x(t, \tau) = f(\tau) \quad (96)$$

จัดเรียงสมการ (96) ใหม่ จะได้

$$\frac{d^2 x(t, \tau)}{dt^2} + \frac{\alpha}{m} \frac{dx(t, \tau)}{dt} + \frac{g}{l} x(t, \tau) = \frac{1}{m} f(\tau) \quad (97)$$

กำหนดให้  $\frac{\alpha}{m} = 2\lambda$  และ  $\frac{g}{l} = \omega_0^2$  ทำให้สมการ (97) เขียนใหม่ได้เป็น

$$\frac{d^2 x(t, \tau)}{dt^2} + 2\lambda \frac{dx(t, \tau)}{dt} + \omega_0^2 x(t, \tau) = \frac{1}{m} f(\tau) \quad (98)$$

เมื่อสังเกตสมการ (98) จะพบว่าสมการดังกล่าวจะเหมือนกับสมการ (79) ดังนั้น ถ้าแรงภายนอก  $f(\tau) = F_0 \cos(\omega_f \tau)$  ผลเฉลยสมบูรณ์ของสมการ (98) เมื่อกำหนดให้  $\phi = 0$  คือ

$$x(t, t + \Delta t) = x_0 e^{-\lambda t} \cos(\omega_n t) - \frac{D}{2} e^{-\lambda t} \cos[(\omega_f + \omega_n)t + \phi_d] - \frac{D}{2} e^{-\lambda t} \cos[(\omega_f - \omega_n)t + \phi_d] + D \cos[\omega_f t + \phi_d]$$

(99)

$$\text{โดยที่ } \lambda = \frac{\alpha}{2m} \text{ และ } \omega_0 = \sqrt{\frac{g}{l}}$$

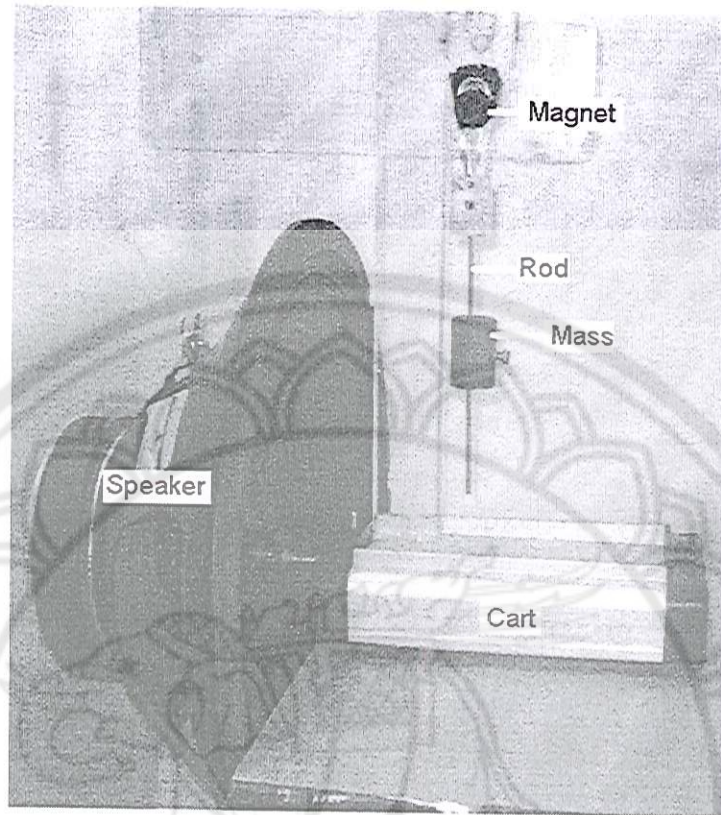
พิจารณาสมการ (99) ณ เวลา  $t = 0$  (เมื่อเริ่มมีแรงภายนอกกระทำต่อระบบขณะที่เพนดูลัมกำลังสั่น) ขนาดของเทอมที่สองและที่สาม (เทอมใหม่ทั้งสองเทอม) มีค่าเป็นครึ่งหนึ่งของขนาดของผลตอบสนองบังคับ (เทอมที่สี่) ขณะที่เวลา  $t$  เพิ่มขึ้น ตัวประกอบเอกซ์โพเนนเชียล  $e^{-\lambda t}$  จะมีค่าลดลงอย่างต่อเนื่องและมีค่าเข้าใกล้ศูนย์ ด้วยเหตุนี้ ขนาดของเทอมที่สองและเทอมที่สามรวมไปถึงเทอมที่หนึ่งจะลดลงอย่างต่อเนื่อง นอกจากนี้ขนาดของผลตอบสนองบังคับจะมีขนาดใหญ่เมื่อความถี่การสั่นของแรงบังคับ  $\omega_f$  เข้าใกล้ความถี่ธรรมชาติที่สั่นอย่างอิสระ (โดยไม่มีการหน่วง) ด้วยเหตุนี้ ที่เวลา  $t = 0$  ขนาดของเทอมที่สองและเทอมที่สามจะเพิ่มขึ้นตามด้วยโดยเป็นครึ่งหนึ่งของผลตอบสนองบังคับ

ดังนั้น จะเห็นได้ว่า สมการ (99) น่าจะถูกตั้งและแม่นยำกว่าสมการ (61) ในบทที่ 2

**การทดลองของระบบเพนดูลัมที่ถูกกระทำโดยแรงบังคับภายนอก**

การทดลองในสถานการณ์การสั่นของเพนดูลัมภายใต้แรงกระทำจากภายนอกได้จัดขึ้นดังแสดงในภาพ 22



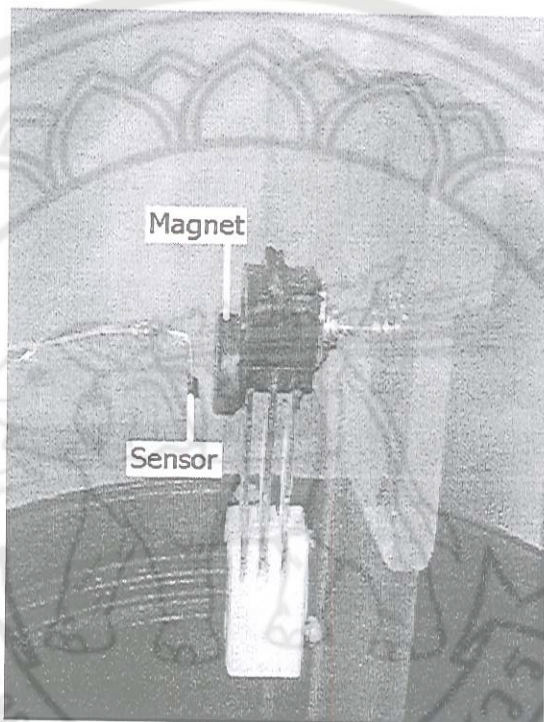


ภาพ 22 ชุดการทดลองของเพนดูลัมที่ถูกแรงบังคับ

จากภาพ 22 ระบบเพนดูลัมประกอบด้วยแท่งเหล็กเบาที่ใช้ทำแกนเพนดูลัมยาว 0.10 เมตรและตุ้มน้ำหนัก 0.10 กิโลกรัมได้ติดไว้ที่ปลายด้านหนึ่งของแท่งเหล็ก ส่วนปลายอีกด้านหนึ่ง จะแขวนไว้บนฐานที่ยึดติดไว้บนรถทดลองวิทยาศาสตร์ซึ่งจุดหมุนของเพนดูลัมที่ปลายด้านนี้จะ เป็นลูกปืนที่มีแรงเสียดทานน้อยมาก ความถี่ธรรมชาติ  $\omega_n$  ของระบบมีค่าเท่ากับ 1.50 Hz ล้อของ รถจะมีลูกปืนตรงแกนหมุนซึ่งช่วยลดแรงเสียดทาน รถทดลองจะเชื่อมต่อกับลำโพงที่ติดตั้งใน แนวตั้ง ซึ่งลำโพงจะเป็นตัวกำเนิดแรงภายนอกแบบไซน์ไปบังคับการสั่นของเพนดูลัม วงจรที่ใช้ขับ ลำโพงจะเป็นวงจรเดียวกันกับที่ใช้ในการทดลองก่อนหน้านี้ (ของระบบมวลติดสปริง) แต่แอมพลิจูดการสั่นของลำโพงจะน้อยกว่า เพื่อไม่ให้เพนดูลัมสั่นแรงมากเกินไปเมื่อความถี่ของแรงบังคับ มีค่าเข้าใกล้ความถี่ธรรมชาติของเพนดูลัม ซึ่งการสั่นที่มีขนาดมากเกินไปของเพนดูลัม จะทำให้การเคลื่อนที่ของเพนดูลัมจะกลายเป็นแบบไม่เป็นเชิงเส้น (nonlinear)

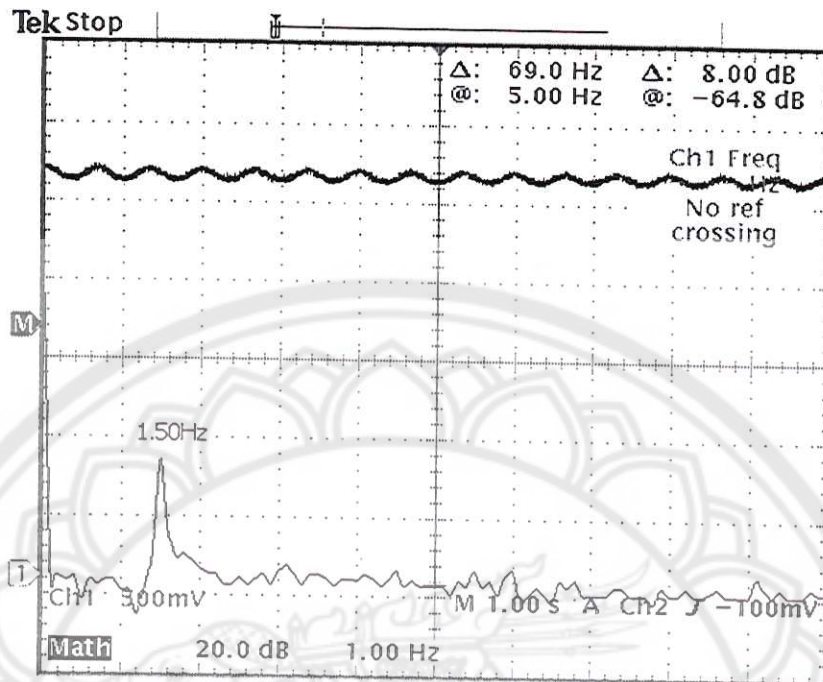
การวัดการสั่นของเพนดูลัมสามารถทำได้โดยการนำแม่เหล็กกลมแบนไปติดไว้แกนเพนดูลัมที่ตำแหน่งใกล้กับจุดหมุน จากนั้นนำเซนเซอร์ Hall effect UGN3503 ไปติดตั้งไว้ใกล้กับแม่เหล็กกลมแบนดังกล่าว ดังภาพ 23 (เซนเซอร์ไม่ได้เคลื่อนไปกับตัวรถ นั่นคือ เซนเซอร์ไม่ได้ยึด

กับส่วนใดส่วนหนึ่งของตัวรถทดลอง) ดังนั้นเมื่อเพนดูลัมสั้น จะทำให้ความเข้มสนามแม่เหล็กบริเวณตัวเซนเซอร์มีการเปลี่ยนแปลง จึงทำให้แรงดันเอาต์พุตที่ได้จากเซนเซอร์เปลี่ยนแปลงตามการสั้นของเพนดูลัมด้วย ซึ่งสัญญาณเอาต์พุตจากเซนเซอร์จะนำไปแสดงผลและวิเคราะห์สเปกตรัมต่อไปด้วยออสซิลโลสโคป



ภาพ 23 เซนเซอร์สนามแม่เหล็กที่วางใกล้กับแม่เหล็กกลมแบนที่ติดอยู่ใกล้จุดหมุนของเพนดูลัม

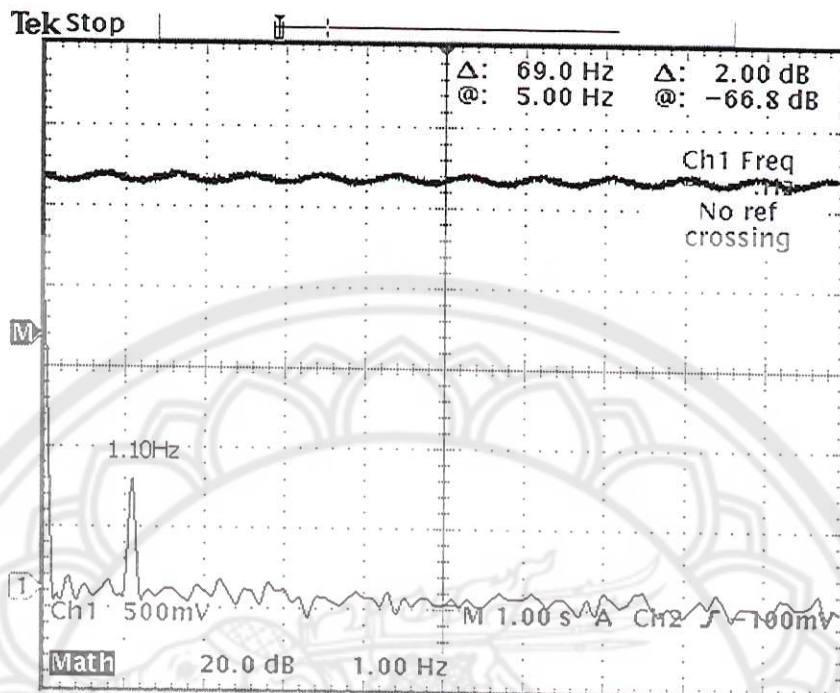
ถ้าให้เพนดูลัมสั้นโดยการดึงลูกตุ้มของเพนดูลัมออกจากตำแหน่งสมดุลเล็กน้อยแล้วปล่อย โดยยังไม่มีแรงภายนอกมากระทำกับระบบหรือลำโพงไม่สั้น สเปกตรัมของสัญญาณเอาต์พุตของ UGN3503 ควรมีความถี่เดียวซึ่งเป็นความถี่ธรรมชาติ  $\omega_n$  ของเพนดูลัมนั่นเอง ในภาพ 24 จะแสดงผลการทดสอบดังกล่าว



ภาพ 24 ผลการทดลองเนื่องจากการสั่นของเพนดูลัมที่ไม่มีแรงภายนอกมากระทำ โดย สัญญาณเส้นบนเป็นเอาต์พุตของเซนเซอร์ UGN3503 และสัญญาณเส้นล่างเป็น สเปกตรัมของสัญญาณเส้นบน

จากภาพ 24 จะเห็นได้ว่าสเปกตรัมของสัญญาณเอาต์พุตของเซนเซอร์มีเพียงความถี่เดียวคือ 1.50 Hz จึงมั่นใจได้ว่า ความสัมพันธ์ระหว่างเอาต์พุตของเซนเซอร์กับการสั่นของเพนดูลัม มีความเป็นเชิงเส้น (ที่มุมการสั่นน้อยๆ)

และถ้าให้ลำโพงสั่นอย่างเดียวโดยที่เพนดูลัมไม่สั่น (ยึดแกนเพนดูลัมให้อยู่กับที่) สเปกตรัมเอาต์พุตของเซนเซอร์ UGN3503 ควรมีความถี่เดียวซึ่งเป็นความถี่ของแรงที่ป้อนให้กับเพนดูลัม ซึ่งผลการทดสอบแสดงไว้ดังภาพ 25



ภาพ 25 ผลการทดลองในกรณีที่มีเพียงแต่การสั่นของแรงภายนอก (จากดอกลำโพง) เท่านั้น (เพนดูลัมไม่สั่น)

จากภาพ 25 จะเห็นได้ว่า สัญญาณเอาต์พุตของเซนเซอร์ UGN3503 มีเพียงความถี่เดียวเช่นกันคือ 1.10Hz ซึ่งเป็นการยืนยันว่า ลำโพงนั้นได้สั่นแบบไซน์จริงๆ โดยเป็นแรงที่ป้อนให้กับระบบซึ่งอธิบายด้วยสมการ  $f(\tau) = F_0 \cos(\omega_f \tau)$

ในการทดลองลำดับต่อไป ผู้วิจัยจะป้อนแรงภายนอกโดยการทำให้ลำโพงสั่นแบบไซน์ที่มีความถี่ใกล้ 1.50 Hz ซึ่งเป็นความถี่ธรรมชาติ เช่น 1.10, 1.20 และ 1.90 Hz ตามลำดับ สำหรับขั้นตอนการทดลองนั้นจะให้ลำโพงสั่นก่อนด้วยความถี่ที่ต้องการ จากนั้นทำให้เพนดูลัมสั่นโดยการดันตุ้มน้ำหนักออกไปจากตำแหน่งสมดุลเพียงเล็กน้อยแล้วปล่อย ( $t = 0$ ) ซึ่งจะทำให้เพนดูลัมสั่นขณะมีแรงภายนอกมากระทำ ดังนั้น สเปกตรัมของสัญญาณเอาต์พุตของเซนเซอร์ควรจะสอดคล้องกับสมการ (99) ซึ่งผลการทดลองจะกล่าวไว้ในบทถัดไป